

网络出版时间:2014-05-28 11:34 DOI:10.13207/j.cnki.jnwafu.2014.06.016
网络出版地址:<http://www.cnki.net/kcms/doi/10.13207/j.cnki.jnwafu.2014.06.016.html>

灵芝多糖的提取纯化及其免疫活性

张丽霞¹, 张雅君², 张丽萍³

(1 大庆师范学院 生命科学学院, 黑龙江 大庆 163712; 2 仲恺农业工程学院 生命科学学院, 广东 广州 510225;
3 东北师范大学 生命科学学院, 吉林 长春 130024)

[摘要] 【目的】从灵芝孢子粉中提取纯化多糖, 研究灵芝多糖对小鼠细胞免疫功能的影响, 为灵芝开发利用提供试验依据。【方法】利用水煮醇沉法从灵芝孢子粉中提取粗多糖, 经反复冻融、Sevag 法脱蛋白和 Sepharose CL-6B 柱层析, 纯化得灵芝多糖(GLP)。通过 HPLC 鉴定 GLP 的纯度, G. C. 分析其单糖组成。采用 MTT 法、中性红试验、Griess 法、比色法和 ELISA 法, 分别检测 GLP 对小鼠脾淋巴细胞增殖、腹腔巨噬细胞吞噬功能、NO 产量和 iNOS 活性以及 TNF- α 产量的影响。【结果】GLP 为白色粉末, 分子质量为 51 ku, HPLC 分析 GLP 为单一狭窄对称峰, 其单糖组成为葡萄糖(Glc)和半乳糖(Gal), 二者物质的量之比为 16.8 : 1。GLP 能够刺激小鼠 T 淋巴细胞增殖, 并呈现剂量依赖关系; 当 GLP 质量浓度达到 100 $\mu\text{g}/\text{mL}$ 时, 能显著增强腹腔巨噬细胞的吞噬能力, 提高其分泌 iNOS 的活力和 NO 的生产量; 同时, 当 GLP 质量浓度 $\geq 200 \mu\text{g}/\text{mL}$ 时, 能显著促进腹腔巨噬细胞分泌 TNF- α 的能力, 具有剂量依赖性。【结论】GLP 能够增强小鼠免疫细胞活性, 有望成为重要的生物免疫调节剂。

[关键词] 灵芝多糖; 脾淋巴细胞; 腹腔巨噬细胞; 免疫调节

[中图分类号] S567.3⁺1; Q539

[文献标志码] A

[文章编号] 1671-9387(2014)06-0168-05

Extraction and purification of polysaccharide from *Ganoderma lucidum* and its immunological activities

ZHANG Li-xia¹, ZHANG Ya-jun², ZHANG Li-ping³

(1 Department of Life Science, Daqing Normal University, Daqing, Heilongjiang 163712, China;

2 College of Life Sciences, Zhongkai University of Agriculture and Engineering, Guangzhou, Guangdong 510225, China;

3 School of Life Science, Northeast Normal University, Changchun, Jilin 130024, China)

Abstract: 【Objective】This study focused on extraction and purification of polysaccharide from *Ganoderma lucidum* spore powder and its effects on cell immunity of mice, to improve the development and utilization of *Ganoderma lucidum*. 【Method】Water boiling and ethanol method was used to extract polysaccharide from *Ganoderma lucidum* spore powder, and *Ganoderma lucidum* polysaccharide (GLP) was obtained after repeated freezing and thawing, Sevag protein removal, Sepharose CL-6B column chromatography, and purification. The purity was identified by HPLC, and its monosaccharide composition was analyzed by GC. Effects of *Ganoderma lucidum* polysaccharides on spleen lymphocyte proliferation, phagocytosis of peritoneal macrophages, NO production, iNOS activity and TNF- α yield were detected by MTT, neutral red test, Griess method, colorimetric method, and ELISA method, respectively. 【Result】Obtained GLP was white powder with molecular weight of 51 ku. HPLC analysis showed it had a single narrow symmetrical peak.

[收稿日期] 2013-05-10

[基金项目] 黑龙江省自然科学基金项目(C201227); 大庆师范学院博士启动基金项目(11NR16)

[作者简介] 张丽霞(1972—), 女, 黑龙江绥棱人, 副教授, 博士, 主要从事多糖结构与生物活性研究。

E-mail:zhanglx573@aliyun.com

[通信作者] 张丽萍(1942—), 女, 吉林吉林市人, 教授, 硕士, 主要从事多糖生化研究。E-mail:zhanglp626@aliyun.com

GLP consisted of glucose (Glc) and galactose (Gal) with a molar ratio of 16.8:1. GLP stimulated the proliferation of T lymphocyte in mice with dose dependent relationship. When the concentration of GLP reached 100 μg/mL, the phagocytic activity of peritoneal macrophage was significantly enhanced, and iNOS production activity of peritoneal macrophage and NO production were improved. When GLP mass concentration was larger than 200 μg/mL, TNF-α secretion ability of macrophage was significantly promoted with dose-dependent relationship. 【Conclusion】 *Ganoderma lucidum* polysaccharide could enhance the activity of immune cells in mice, and act as an important biological immune regulator.

Key words: *Ganoderma lucidum* polysaccharide; lymphocyte; macrophage; immune-regulation

药用真菌多糖是从真菌子实体、菌丝体、发酵液中分离出来的一种多糖^[1-2],具有调节免疫^[3-4]、抗肿瘤^[5]、抗病毒^[6]、抗衰老^[7]、抗放射^[8]、抗凝血^[9]等多种药理活性,是公认的安全低毒活性物质。大量研究证明,真菌多糖不仅能够激活小鼠脾淋巴细胞、腹腔巨噬细胞和自然杀伤细胞等免疫细胞,还能活化补体,促进细胞因子的生成,对免疫系统具有多途径、多层次的调节作用^[10]。真菌多糖作为良好的药物资源,已成为继蛋白质和核酸之后的又一科学的研究热点^[11]。

灵芝古称瑞草,隶属于担子菌亚门层菌纲非褶菌目灵芝菌科灵芝属^[12],是我国传统的补益中药,具有扶正固本、延年益寿之功效^[13]。目前,有关灵芝孢子粉纯多糖的免疫调节作用研究还未见报道。为此,本研究以灵芝孢子粉为试验材料,提取灵芝水溶性粗多糖,分离纯化后对其理化性质及免疫活性进行研究,以期为灵芝多糖的开发利用提供依据。

1 材料与方法

1.1 材料

灵芝孢子粉购自辽宁百发生物制品有限公司。ICR 雄性小鼠,体质量(20.0±2.0) g/只,购于吉林大学药理学实验中心,自由进食。

Sepharose CL-6B, Pharmacia Biotech 公司生产;MTT、脂多糖(LPS)、刀豆蛋白 A (ConA), Sigma 公司产品;中性红, Amersco 公司产品;RP-MI1640 培养基, Gibco 公司产品;新生牛血清, 杭州四季青公司产品;Mouse TNF-alpha ELISA Kit, ADI 公司产品;iNOS 测定试剂盒, 南京建成生物工程研究所生产;其余化学试剂均为国产分析纯试剂。

超低温冰箱、二氧化碳培养箱, SANYO Electric Company 公司生产;高效液相色谱仪, 日本岛津苏州公司生产;Varian 3400 气相色谱仪, 美国 Varian 公司生产;医用型洁净工作台, 北京东联哈尔仪器制造有限公司产品;酶标仪, Bio-RAD 公司生产;

倒置显微镜, IXTO OLYMPUS 公司生产。

1.2 试验方法

1.2.1 灵芝多糖的提取与纯化 称取灵芝孢子粉 1 000 g, 经石油醚(60~90 °C)回流脱脂后, 再用体积分数 70% 甲醇抽提 20 h, 抽滤。将残渣加蒸馏水浸泡过夜, 沸水煮提 3 次, 1 h/次, 离心(4 000 r/min, 15 min), 合并 3 次煮提滤液, 减压浓缩至 200 mL, 加 3 倍体积的体积分数 95% 乙醇醇析过夜, 离心(4 000 r/min, 15 min), 常规干燥得灵芝粗多糖。

将灵芝粗多糖配成质量分数为 5% 的溶液, 置于-20 °C 冰箱冷冻过夜, 室温缓慢融化, 高速冷冻离心(8 000 r/min, 10 min, 4 °C), 重复此操作 5 次, 直至无沉淀产生。采用 Sevag 法^[14]对样品脱蛋白, 重复多次, 至无游离蛋白为止。通过 Sepharose CL-6B 柱层析(1.5 cm×100 cm) 对样品进行分析, 用质量分数 0.9% 氯化钠溶液洗脱, 自动部分收集器收集, 酚-硫酸法^[15]检测糖的分布。

采用 Sepharose CL-6B 柱(2.5 cm×90 cm) 层析制备灵芝多糖, 用质量分数 0.9% 的 NaCl 溶液进行洗脱, 收集糖峰洗脱液, 依次进行流水逆向透析(24 h)和蒸馏水透析(24 h, 每 4 h 换蒸馏水 1 次)脱盐, 然后水浴(80 °C)浓缩, 冻干过夜, 即得纯化的灵芝多糖(GLP)。

1.2.2 GLP 相对分子质量的测定及组成分析 精确称取 3 mg GLP 溶于 1 mL 质量分数 0.7% 硫酸钠溶液中, 超声波处理 5 min, 过滤后进行高效液相色谱(HPLC)分析(洗脱液流速 0.6 mL/min)。采用气相色谱法(G. C.)^[16]测定 GLP 糖组成。

1.2.3 GLP 的免疫活性 (1) GLP 对脾淋巴细胞体外增殖的影响。参考文献[17]制备小鼠脾淋巴细胞悬液。将脾淋巴细胞悬液加入 96 孔细胞培养板中, 每孔 100 μL, 设空白对照(CK)孔、ConA(5 μg/mL)对照孔、LPS(10 μg/mL)对照孔、待测糖液(质量浓度为 50, 100, 200 和 400 μg/mL)孔、待测糖液(质量浓度为 50, 100, 200 和 400 μg/mL)+5

$\mu\text{g}/\text{mL}$ ConA 50 μL 孔和待测糖液(质量浓度为 50, 100, 200 和 400 $\mu\text{g}/\text{mL}$) + 10 $\mu\text{g}/\text{mL}$ LPS 50 μL 孔, 每孔总体积为 200 μL , 混匀后放入 37 $^{\circ}\text{C}$ 培养箱中培养 72 h, 培养结束前 4 h, 每孔加入 MTT 液(5 mg/mL)20 μL , 培养结束时每孔弃去 100 μL 上清, 加入 150 μL 二甲基亚砜, 用酶标仪在 570 nm 处检测其吸光度(OD_{570}), 每处理设 3 个重复孔。

(2) GLP 对腹腔巨噬细胞吞噬功能的影响。参考文献[17]制备小鼠腹腔巨噬细胞。将纯化后的腹腔巨噬细胞加入 96 孔细胞培养板中, 同时加入质量浓度为 50, 100, 200 和 400 $\mu\text{g}/\text{mL}$ 待测糖液(200 $\mu\text{L}/\text{孔}$), 同时设空白对照、LPS(20 $\mu\text{g}/\text{mL}$)阳性对照, 培养 24 h 后吸去上清, 每孔加入 100 μL 质量分数为 0.075% 的中性红溶液, 继续培养 1 h, 用 PBS(pH7.4)洗去剩余的中性红后, 加入 100 μL 的细胞裂解液($V(\text{乙醇}) : V(\text{乙酸}) = 1 : 1$), 24 h 后用酶标仪在波长 550 nm 处检测其吸光度(OD_{550})。

(3) GLP 对腹腔巨噬细胞产生 NO 的影响。精确称取 NaNO_2 69.0 mg, 加蒸馏水溶解定容至 1 L, 配制成 1 mmol/L NaNO_2 溶液备用。用移液管分别吸取 1, 0.9, 0.8, 0.7, 0.6, 0.5, 0.4, 0.3, 0.2 和 0.1 mL NaNO_2 溶液于 10 mL 离心管中, 补加水至 10 mL。取上述各溶液 100 μL , 加入 96 孔酶标板中, 加入等体积的 Griess 试剂, 10 min 后用酶标仪于波长 540 nm 处检测。以 NaNO_2 浓度为横坐标, 吸光值为纵坐标, 绘制标准曲线。

纯化腹腔巨噬细胞, 以 $2 \times 10^6 \text{ mL}^{-1}$ 加入 24 孔板中, 同时设空白对照和 LPS(20 $\mu\text{g}/\text{mL}$)阳性对照, 加入质量浓度为 50, 100, 200 和 400 $\mu\text{g}/\text{mL}$ 的待测糖液培养 24 h 后, 吸取细胞培养上清液(100 μL)转移至另一培养板中, 并加入等体积的 Griess 试剂, 10 min 后于波长 540 nm 处用酶标仪检测, 根据 NaNO_2 标准曲线, 计算 NO 的产量。

(4) GLP 对腹腔巨噬细胞诱导型一氧化氮合酶(iNOS)活性的影响。取 100 μL 腹腔巨噬细胞培养上清液, 通过比色法测 iNOS 的酶活力, 具体操作按照 iNOS 试剂盒说明进行。同时设 20 $\mu\text{g}/\text{mL}$ 的 LPS 为阳性对照组。

(5) GLP 对腹腔巨噬细胞产肿瘤坏死因子($\text{TNF}-\alpha$)的影响。将纯化的腹腔巨噬细胞以 $2 \times 10^6 \text{ mL}^{-1}$ 加入 24 孔板中, 加质量浓度为 50, 100, 200 和 400 $\mu\text{g}/\text{mL}$ 待测糖液培养 24 h 后, 吸取细胞培养液上清 100 μL , 用 ELISA 试剂盒检测 $\text{TNF}-\alpha$ 。同时设 20 $\mu\text{g}/\text{mL}$ 的 LPS 为阳性对照组。

1.3 数据统计分析

试验数据以“平均值±标准差”表示; 对数据进行单因素方差分析, $P < 0.05$ 表示有显著差异, $P < 0.01$ 表示有极显著差异。

2 结果与分析

2.1 灵芝多糖的提取纯化及其理化性质

从 1 000 g 灵芝孢子粉中获得 6.6 g 水溶性粗多糖, 纯化后得 GLP, 通过 HPLC 检查其纯度发现, GLP 为单一狭窄对称峰, 确定其可以用于后续活性试验。GLP 为白色粉末, 易溶于水, 相对分子质量为 5.1 ku, 糖含量为 89.4%。气相色谱分析结果(图 1)表明, GLP 的单糖组成为葡萄糖(Glc)和半乳糖(Gal), 其物质的量比为 16.8 : 1.0。

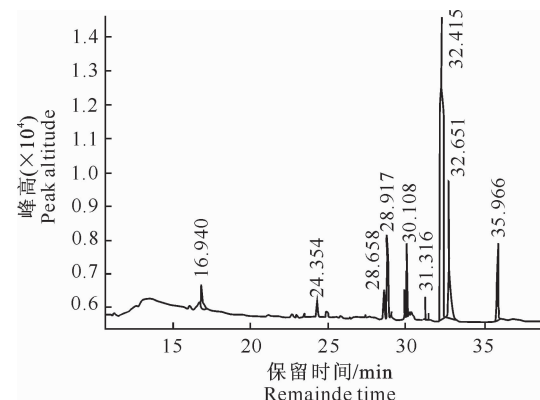


图 1 灵芝多糖的气相色谱图

Fig. 1 G. C. of *Ganoderma lucidum* polysaccharide (GLP)

2.2 GLP 对脾淋巴细胞体外增殖的影响

GLP 对脾淋巴细胞的促增殖作用见图 2。

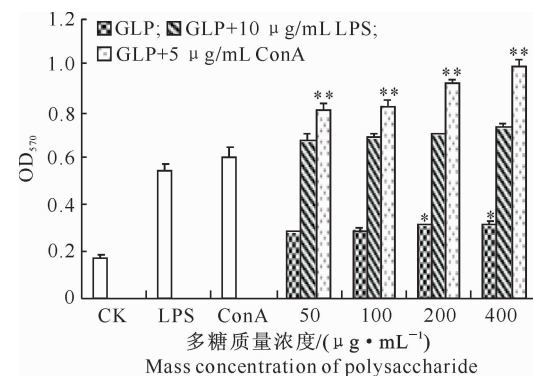


图 2 灵芝多糖对脾淋巴细胞体外增殖的影响

“*”表示与其相对照差异显著($P < 0.05$); “**”表示与其相对照差异极显著($P < 0.01$)。下同

Fig. 2 Effect of GLP on lymphocyte proliferation
“*” represents significant difference compared to the control ($P < 0.05$); “**” indicates extremely significant difference compared to the control ($P < 0.01$), The same below

由图 2 可知,50~400 $\mu\text{g}/\text{mL}$ GLP 单独作用时,能不同程度地促进脾淋巴细胞增殖,且与 CK 相比,差异达显著水平($P<0.05$)。GLP 能促进 ConA 诱导的 T 淋巴细胞的增殖,不能促进 LPS 诱导的 B 淋巴细胞的增殖;与 ConA 对照相比,50~400 $\mu\text{g}/\text{mL}$ GLP 与 ConA 协同作用效果均达到极显著水平($P<0.01$),并具有剂量依赖性。

2.3 GLP 对腹腔巨噬细胞吞噬功能的影响

将小鼠腹腔巨噬细胞和不同质量浓度的 GLP(50~400 $\mu\text{g}/\text{mL}$)加入到 96 孔细胞培养板中培养 24 h,结果(图 3)表明,GLP 能够激活腹腔巨噬细胞,增强其吞噬功能。当 GLP 的质量浓度为 50~100 $\mu\text{g}/\text{mL}$ 时,可显著促进腹腔巨噬细胞的吞噬功能;当其质量浓度为 200~400 $\mu\text{g}/\text{mL}$ 时,可极显著

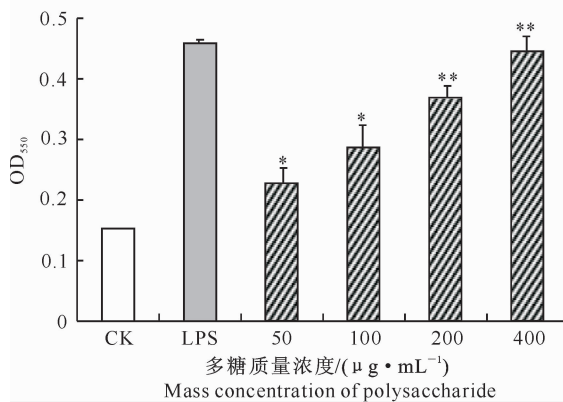


图 3 灵芝多糖对腹腔巨噬细胞吞噬作用的影响

Fig. 3 Effect of GLP on phagocytosis of macrophages

由图 5 可知,GLP 质量浓度 $\geq 100 \mu\text{g}/\text{mL}$ 时,能显著或极显著增强腹腔巨噬细胞分泌 iNOS 的活力;当 GLP 质量浓度为 400 $\mu\text{g}/\text{mL}$ 时,腹腔巨噬细胞分泌 iNOS 的活力最高,但仍低于 LPS(20

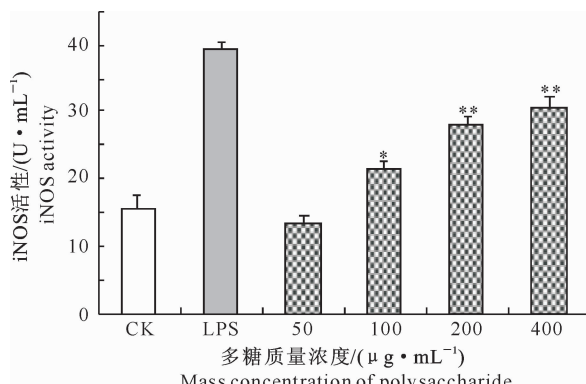


图 5 灵芝多糖对腹腔巨噬细胞 iNOS 活性的影响

Fig. 5 Effect of GLP on iNOS activity

促进腹腔巨噬细胞的吞噬功能;GLP 质量浓度为 50~400 $\mu\text{g}/\text{mL}$ 时,其对腹腔巨噬细胞吞噬功能的促进作用与 LPS 差异未达到显著水平。

2.4 GLP 对腹腔巨噬细胞 NO 产量及 iNOS 活性的影响

根据 Griess 法,得到 $\text{OD}_{540}(y)$ 与 NaNO_2 质量浓度(x)的标准方程为: $y=0.0548x+0.0717$ 。测定样品的 OD_{540} 值,通过标准方程计算 NO 的产量,结果(图 4)表明,GLP 质量浓度 $\geq 100 \mu\text{g}/\text{mL}$ 时,能显著或极显著增强腹腔巨噬细胞产生 NO 的能力;当 GLP 质量浓度为 400 $\mu\text{g}/\text{mL}$ 时,腹腔巨噬细胞产生的 NO 量最高,接近于阳性对照组(LPS,20 $\mu\text{g}/\text{mL}$)。

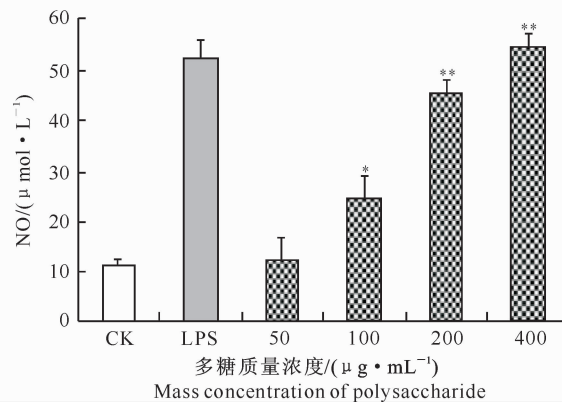


图 4 灵芝多糖对腹腔巨噬细胞 NO 产量的影响

Fig. 4 Effect of GLP on NO production induced by macrophages

$\mu\text{g}/\text{mL}$)阳性对照组。

2.5 GLP 对腹腔巨噬细胞产生 TNF- α 的影响

灵芝多糖对腹腔巨噬细胞产生 TNF- α 的影响结果见图 6。

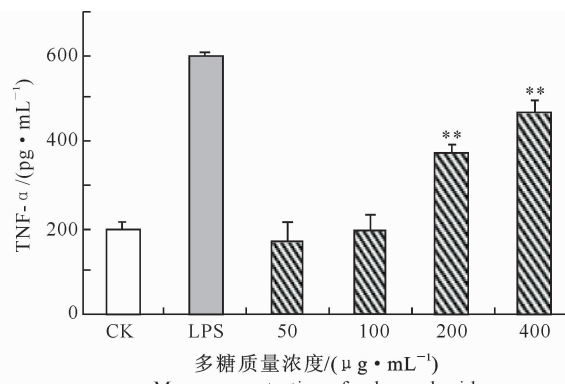


图 6 灵芝多糖对腹腔巨噬细胞产生 TNF- α 的影响

Fig. 6 Effect of GLP on TNF- α production induced by macrophages

腹腔巨噬细胞产生的 TNF- α 是机体免疫反应和杀伤肿瘤细胞的关键调节因子。GLP 对腹腔巨噬细胞产生 TNF- α 的影响结果(图 6)表明,当 GLP 质量浓度 $\geq 200 \mu\text{g}/\text{mL}$ 时,腹腔巨噬细胞产生的 TNF- α 与 CK 相比极显著增加($P<0.01$);当 GLP 质量浓度为 $400 \mu\text{g}/\text{mL}$ 时,腹腔巨噬细胞产生的 TNF- α 最多,但仍低于 LPS($20 \mu\text{g}/\text{mL}$)阳性对照组。

3 讨 论

真菌多糖作为重要的生物应答调节剂,对机体的先天免疫系统具有重要的调节作用。脾脏是淋巴细胞定居和接受抗原刺激产生免疫应答的重要场所。活化的腹腔巨噬细胞吞噬功能明显增强,还能够释放 TNF- α 、NO 等细胞因子。诱导型 iNOS 的合成是对腹腔巨噬细胞产生特异性免疫的应答反应。大量的研究表明,真菌多糖不仅能够激活 T、B 淋巴细胞、腹腔巨噬细胞等免疫细胞,还能促进细胞因子的生成,对免疫系统发挥多方面的作用。本试验结果表明,从灵芝孢子粉中提取纯化的活性物质灵芝多糖,能够促进 T 淋巴细胞的增殖,显著增强腹腔巨噬细胞的吞噬功能,提高其分泌 iNOS 的活力和 NO 的生产量;同时还能促进腹腔巨噬细胞产生 TNF- α ,这可能是灵芝多糖增强机体免疫力的重要机制之一。灵芝多糖的免疫活性与其单糖组成、糖苷键类型、分子质量大小、分子结构等都有密切关系,为了阐明灵芝多糖的免疫调节机制,还需对其构效关系进行深入研究。

[参考文献]

- [1] Moradali M F, Mostafavi H, Ghods S, et al. Immunomodulating and anticancer agents in the realm of macromycetes fungi (macrofungi) [J]. International Immunopharmacology, 2007, 14(1): 701-724.
- [2] Wasser S P. Medicinal mushrooms as a source of antitumor and immunomodulating polysaccharides [J]. Appl Microbiol Biotechnol, 2002, 60: 258-274.
- [3] Chen C M, Cheng J L, Chang W T, et al. Polysaccharides of *Ganoderma lucidum* alter cell immunophenotypic expression and enhance CD56 + NK-cell cytotoxicity in cord blood [J]. Bioorg Med Chem, 2004, 12: 5603-5609.
- [4] Li W D, Ren L S, Lin Z B. Antitumor activity and immunopropharmacological effects of Linglong liquidum extractum (LLE) [J]. Chin J New Drug, 2002, 11: 928-931.
- [5] Liu J J, Huang T S, Hsu M L, et al. Antitumor effects of the partially purified polysaccharides from *Antrodia camphorata* and the mechanism of its action [J]. Toxicol Appl Pharmacol, 2004, 201: 186-193.
- [6] Xu H, Lee S H, Lee S F. Isolation and characterization of an anti-HSV polysaccharide from *Prunella vulgaris* [J]. Antiviral Research, 1999, 44: 43-54.
- [7] Cui Y, Kim D S, Park K C. Antioxidant effect of *Inonotus obliquus* [J]. Journal of Ethnopharmacology, 2005, 96: 79-85.
- [8] Wang Y Y, Khoo K H, Chen S T, et al. Studies on the immuno-modulating and antitumor activities of *Ganoderma lucidum* (Reishi) polysaccharides: Functional and proteomic analyses of a fucosecontaining glycoprotein fractionresponsible for the activities [J]. Bioorg Med Chem, 2002, 10: 1057-1062.
- [9] Lee I K, Seok S J, Kim W K, et al. Hispidin derivatives from the mushroom *Inonotus xeranticus* and their antioxidant activity [J]. Journal of Natural Products, 2006, 69: 299-301.
- [10] Leiro J M, Castro R, Arranz J A, et al. Immunomodulating activities of acidic sulphated polysaccharides obtained from the seaweed *Ulva rigida* C. Agardh [J]. Int Immunopharmacol, 2007, 7: 879-888.
- [11] Lee J H. Anti-tumor and immunostimulating activity of fungal polysaccharide [J]. Industrial Microorgan, 1994, 20: 14-21.
- [12] Shao B M, Dai H, Xu W, et al. Immune receptors for polysaccharides from *Ganoderma lucidum* [J]. Biochem Biophys Res Commun, 2004, 323: 133-141.
- [13] Cao L Z, Lin Z B. Regulation on maturation and function of dendritic cells by *Ganoderma lucidum* polysaccharides [J]. Immunol Lett, 2002, 83: 163-169.
- [14] Zhang Y J, Zhang L X, Yang J F, et al. Struture of investigation of water soluble polysaccharide CPPS3 isolated from the *Codonopsis pilosula* [J]. Fitoterapia, 2010, 81: 157-161.
- [15] Oades J M. Gas-liquid chromatography of alditol acetates and its application to the analysis of sugars in complex hydrolysates [J]. J Chromatogr, 1967, 28: 246-252.
- [16] Zhang L X, Zhang Y J, Zhang L P. Structure and immunological activity of a novel polysaccharide from the spores of *Ganoderma lucidum* [J]. African Journal of Biotechnology, 2011, 10(53): 10923-10929.
- [17] Zhang L X, Fan C, Liu S C, et al. Chemical composition and antitumor activity of polysaccharide from *Inonotus obliquus* [J]. Journal of Medicinal Plants Research, 2011, 5(7): 1251-1260.